

THE UNIVERSITY OF TOKYO



差分法による弾性波動並列シミュレーション

岩手医科大学 医歯薬総合研究所

森 太志
(fumori@iwate-med.ac.jp)

東京大学 地震研究所

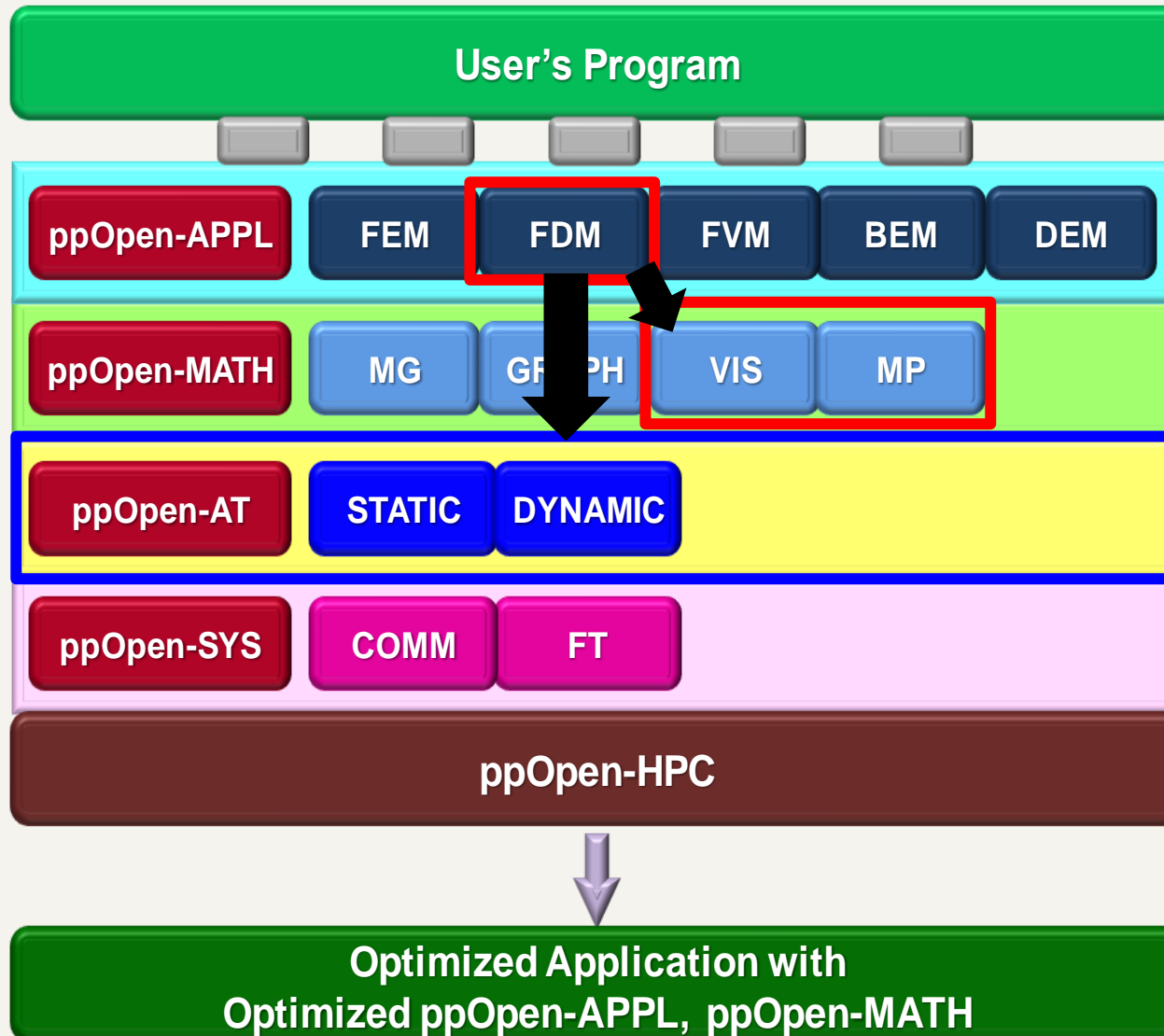
古村 孝志

- はじめに
 - 概要
 - 弾性波動計算
 - ppOpen-APPL/FDM
 - 近年のスパコンのトレンド
 - ヘテロな環境におけるパフォーマンステスト
 - 応用例: 大規模連成計算

- ppOpen-APPL/FDMの演習
 - 利用方法
 - 演習

概要

ppOpen-APPL/FDM library



• 構成方程式

– 弾性体の釣り合いの式 (運動方程式)

$$\rho \ddot{u} = \frac{\partial \sigma_{xp}}{\partial x} + \frac{\partial \sigma_{yp}}{\partial y} + \frac{\partial \sigma_{zp}}{\partial z} + f_p, \quad (p = x, y, z) \quad (1)$$

\ddot{u} : 加速度、 σ : 応力、 ρ : 密度、 f : 外力

– 等方完全弾性体の応力

$$\sigma_{pq} = \lambda(e_{xx} + e_{yy} + e_{zz})\delta_{pq} + 2\mu e_{pq}, \quad (p, q = x, y, z) \quad (2)$$

λ, μ : Lamé定数、 δ : クロネッカのデルタ

• 歪みは変位の空間微分で求められる

$$e_{pq} = \frac{1}{2} \left(\frac{\partial u_p}{\partial q} + \frac{\partial u_q}{\partial p} \right), \quad (p, q = x, y, z) \quad (3)$$

e : 歪み

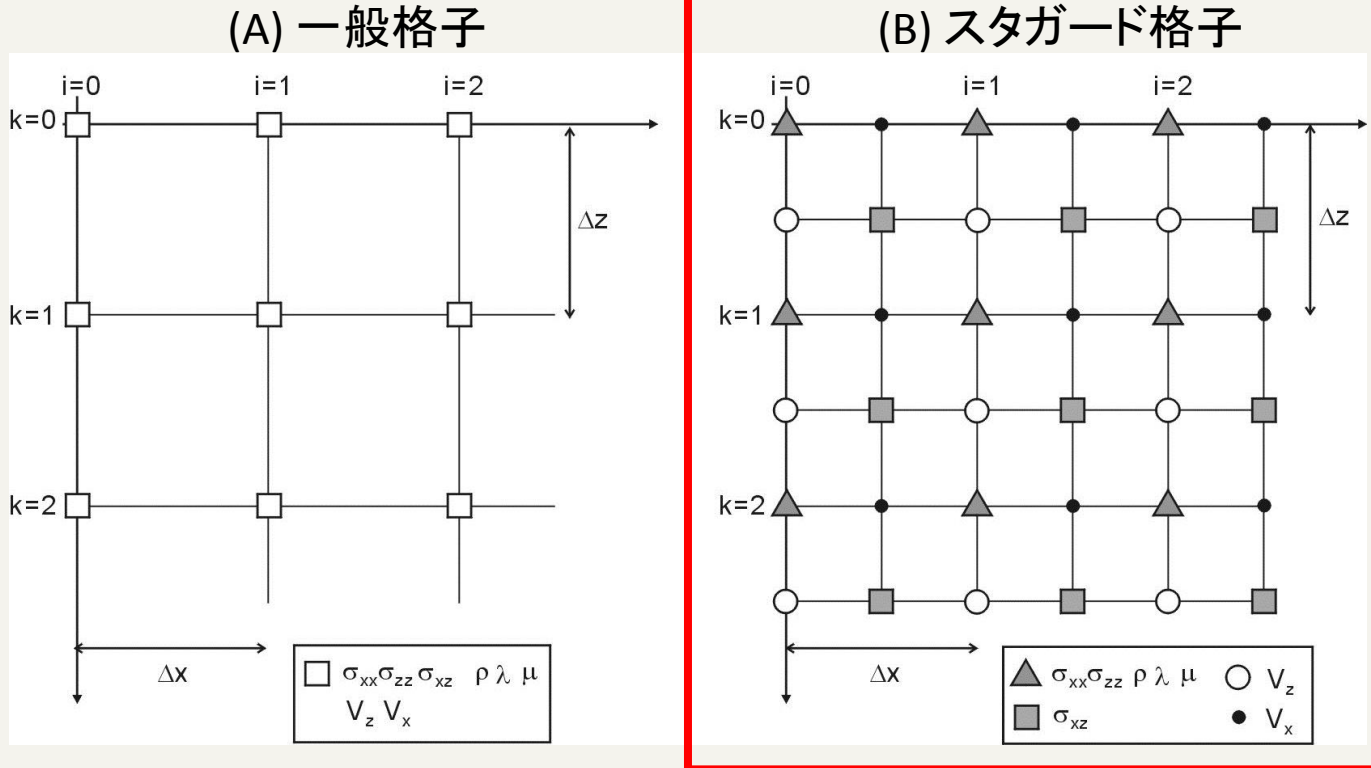
- 時間発展により波動伝播を進めるために、式(1)の速度変数を中間変数とする

$$\dot{u}_p^{n+\frac{1}{2}} = \dot{u}_p^{n-\frac{1}{2}} + \frac{1}{\rho} \left(\frac{\partial \sigma_{xp}^n}{\partial x} + \frac{\partial \sigma_{yp}^n}{\partial y} + \frac{\partial \sigma_{zp}^n}{\partial z} + f_p^n \right) \Delta t, \quad (p = x, y, z) \quad (4)$$

$\dot{u}^{n+1/2}_p$ 粒子速度

- 式(2)と式(3)を結合した式(5)を用いて中央差分に基づく時間積分

$$\sigma_{pq}^{n+1} = \sigma_{pq}^n + \left[\lambda \left(\frac{\partial \dot{u}_x^{n+\frac{1}{2}}}{\partial x} + \frac{\partial \dot{u}_y^{n+\frac{1}{2}}}{\partial y} + \frac{\partial \dot{u}_z^{n+\frac{1}{2}}}{\partial z} \right) \delta_{pq} + \mu \left(\frac{\partial \dot{u}_p^{n+\frac{1}{2}}}{\partial q} + \frac{\partial \dot{u}_q^{n+\frac{1}{2}}}{\partial p} \right) \right] \Delta t, \quad (p, q) = (x, y, z) \quad (5)$$



- A) 変位や応力、物性値など全ての変数を同一格子点上に配置する一般格子
- B) 変位を半格子ずれた位置に定義するスタガード格子
- 変数の微分が定義される位置に関連の変数が位置するため計算精度が良い

- FDMによる式(4)と(5)の空間微分

- 中心差分による計算(2次精度、4次精度、8次精度)

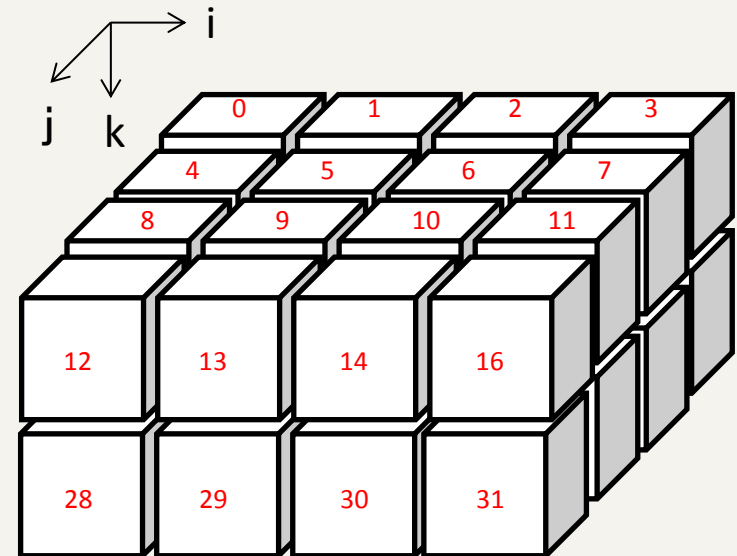
(2次精度)
$$\frac{d}{dx} \sigma_{pq}(x, y, z) \simeq \frac{1}{\Delta x} \left[\sigma_{pq} \left(x + \frac{\Delta x}{2}, y, z \right) - \sigma_{pq} \left(x - \frac{\Delta x}{2}, y, z \right) \right]$$

(4次精度)
$$\begin{aligned} \frac{d}{dx} \sigma_{pq}(x, y, z) \simeq \frac{1}{\Delta x} & \left[\frac{9}{8} \left\{ \sigma_{pq} \left(x + \frac{\Delta x}{2}, y, z \right) - \sigma_{pq} \left(x - \frac{\Delta x}{2}, y, z \right) \right\} \right. \\ & \left. - \frac{1}{24} \left\{ \sigma_{pq} \left(x + \frac{3\Delta x}{2}, y, z \right) - \sigma_{pq} \left(x - \frac{3\Delta x}{2}, y, z \right) \right\} \right] \end{aligned}$$

(8次精度)
$$\begin{aligned} \frac{d}{dx} \sigma_{pq}(x, y, z) \simeq \frac{1}{\Delta x} & \left[\frac{1225}{1024} \left\{ \sigma_{pq} \left(x + \frac{\Delta x}{2}, y, z \right) - \sigma_{pq} \left(x - \frac{\Delta x}{2}, y, z \right) \right\} \right. \\ & - \frac{245}{3072} \left\{ \sigma_{pq} \left(x + \frac{3\Delta x}{2}, y, z \right) - \sigma_{pq} \left(x - \frac{3\Delta x}{2}, y, z \right) \right\} \\ & + \frac{49}{5120} \left\{ \sigma_{pq} \left(x + \frac{5\Delta x}{2}, y, z \right) - \sigma_{pq} \left(x - \frac{5\Delta x}{2}, y, z \right) \right\} \\ & \left. - \frac{5}{7168} \left\{ \sigma_{pq} \left(x + \frac{7\Delta x}{2}, y, z \right) - \sigma_{pq} \left(x - \frac{7\Delta x}{2}, y, z \right) \right\} \right] \end{aligned}$$

1. 弾性波動並列シミュレーション(地震)

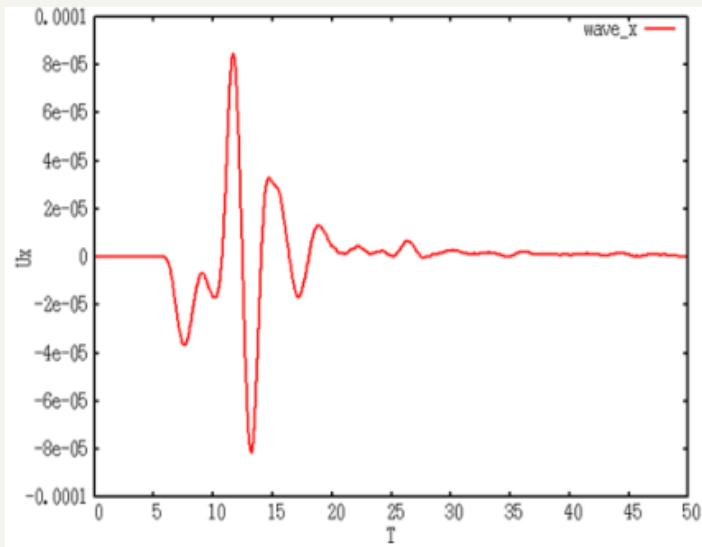
- Staggered グリッド、陽解法
- 3次元/2次元モデル
- 等間隔格子
- 微分: 2次、4次、8次精度
- MPI並列は3次元領域分割
- MPI/OpenMPハイブリッド並列



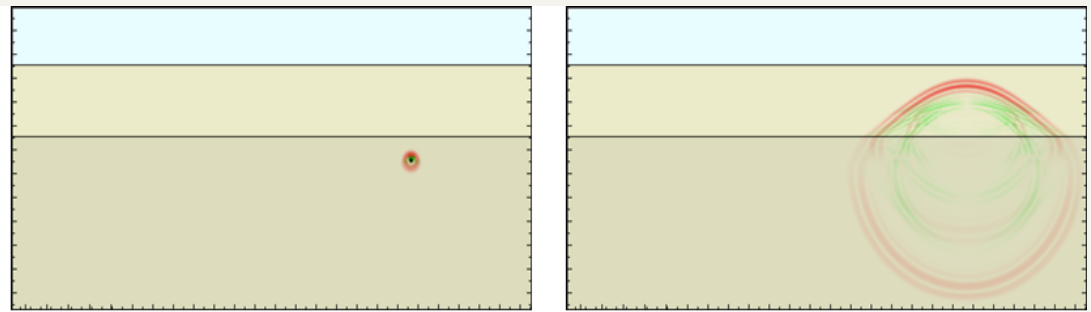
3次元領域分割
(赤文字: MPIランク)

2. サンプルプログラムとインターフェイス

- 観測点の波形
- 波動場のスナップショット



観測点の波形



波動場のスナップショット

ドキュメント

- ppOpen-APPL/FDMの使い方: ユーザマニュアル
- コード内のモジュール説明

Contents:	
1. Outline of seismic_2D/seismic_3D	5
1.1 Parallel simulation of seismic wave propagation in heterogeneous elastic media using ppOpenFDM	5
1.2 Grid and coordinate system	5
1.3 Equations of Motion for 3D Seismic Wavefields	5
1.4 Boundary conditions	6
1.4.1 Absorbing boundary	6
1.4.2 Free surface boundary	7
1.5 Anelastic attenuations	7
1.6 Spatial Differentiation	8
1.7 Input parameters	8
1.8 Requirements of time integration (CFL Condition)	9
1.9 Output and visualization of seismic waves	9
2. Parallel FDM simulation and performance	10
2.1 Domain partitioning and MPI	10
2.2 Parallel programming structure	11
2.3 Performance of parallel FDM simulation	11
2.4 Flat MPI model vs. thread MPI Hybrid model	12
References	13
3. Module/subroutine reference	14
3.1 seismic_2d_psv	15
3.1.1 module ppohFDM_m_absorb	17
3.1.2 module ppohFDM_m_convair	18
3.1.3 module ppohFDM_m_ksmri	18
3.1.4 module ppohFDM_m_modim	22
3.1.5 module ppohFDM_m_output	23
3.1.6 module ppohFDM_m_params	24
3.1.7 module ppohFDM_m_report	25
3.1.8 module ppohFDM_m_source	27
3.1.9 module ppohFDM_m_stlib	30
3.1.10 module ppohFDM_m_surfbc	38
3.1.11 module ppohFDM_m_match	37
3.2 seismic_3d	39
3.2.1 module ppohFDM_boundary	50

3.2.1 module ppohFDM_boundary.

Description

This module applying a zero-stress boundary condition on free surface. Zero stress value is applied to stress components (S_{pz} , $p=x,y,z$) and the results of spatial derivatives just above and below the free-surface boundary are recalculated by using a one-side differentiation scheme. This scheme can treat irregular boundary as well as a flat boundary.

Dependency.

use ppohFDM_stdio.
use ppohFDM_param.

subroutine ppohFDM_bc_zero_stress

(KFSZ, NIFS, NJFS, IFSX, IFSY, IFSZ, JFSX, JFSY, JFSZ).

Description

Applying zero stress value to stress components (S_{pz} , $p=x,y,z$) on free surface.

Arguments.

integer, intent(in) :: KFSZ(NXP0:NXP1,NYP0:NYP1) ! depth of the free surface -
integer, intent(in) :: NIFS, NJFS ! number of points in x and y directions to examine free surface conditions-
integer, intent(in) :: IFSX(NFSMAX), IFSY(NFSMAX), IFSZ(NFSMAX) -
! evaluation point of free surface condition in x,y,z-
integer, intent(in) :: JFSX(NFSMAX), JFSY(NFSMAX), JFSZ(NFSMAX)

MITライセンス

- 公開されているコードはユーザが自由に手を加えることができる

A blue downward-pointing arrow containing the text "入力".

入力

- 計算パラメータの設定
- ソース、観測点、層構造の設定

A red downward-pointing arrow containing the text "計算".

計算

A green downward-pointing arrow containing the text "出力&可視化".

出力&可視化

- 観測点における波形
- 波動場

1. 入力パラメータの例 (計算パラメータ)



1. 計算パラメータ (m_param.f90)

モデルサイズ: 128*128*128

格子サイズ: 0.5

時間間隔: 0.025

MPI領域分割: 2*2*2

```
!-- << Model Size and Grid Width >>
```

```
integer, parameter :: NX = 128
```

```
integer, parameter :: NY = 128
```

```
integer, parameter :: NZ = 128
```

```
integer, parameter :: KFS = 25
```

```
integer, parameter :: NX1 = NX+1
```

```
integer, parameter :: NY1 = NY+1
```

```
integer, parameter :: NZ1 = NZ+1
```

```
integer, parameter :: NTMAX = 2000
```

```
integer, parameter :: NWRITE = 10
```

```
real(PN), parameter :: DX = 0.5_PN
```

```
real(PN), parameter :: DY = 0.5_PN
```

```
real(PN), parameter :: DZ = 0.5_PN
```

```
real(PN), parameter :: DT = 0.025_PN
```

```
integer, parameter :: NDUMP = 5
```

モデルサイズ

格子間隔

時間間隔

```
!--<< Parallel >>
```

```
integer, parameter :: IP = 2
```

```
integer, parameter :: JP = 2
```

```
integer, parameter :: KP = 2
```

```
integer, parameter :: NP = IP*JP*KP ! Number of process
```

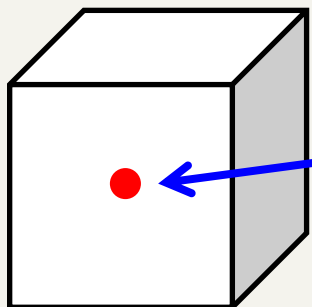
```
integer, parameter :: NL = 4 ! Order of the fd scheme
```

MPI領域分割

1. 入力パラメータの例 (ソースの設定、地下構造の設定)



ソースの設定 (source.dat)



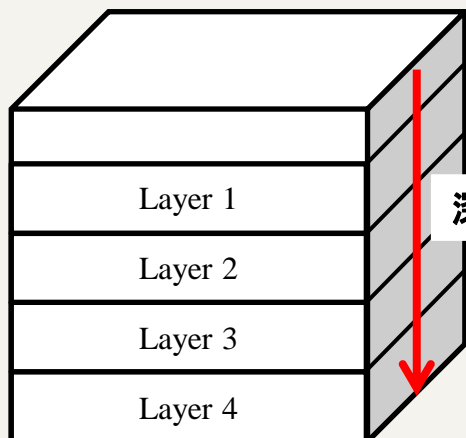
ソース

source.dat

```

16.0 16.0 16.0 # ソースの位置: X(km), Y(km), Z(km)
0.0 45.0 90.0 # 断層パラメータ
1.0 2.0       # ソース時間: at, t0 (s)
  
```

地下構造の設定 medium.dat



深さ (km)

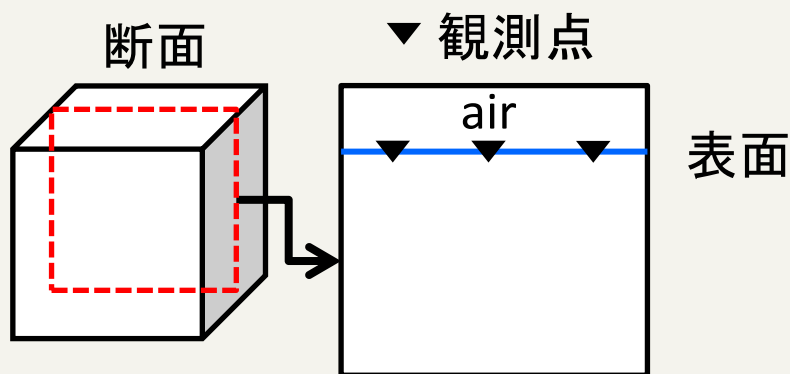
medium.dat

```

4 # 地下構造の層の数
20 2.3 3.0 1.7 # 深さ(km), 密度 (t/m3),
                # P波速度(km/s), S波速度 (km/s)
30 2.3 3.3 2.3
40 2.7 5.0 3.3
50 2.7 6.0 4.0
  
```

1. 入力パラメータの例 (観測点の設定)

観測点の設定
(station.dat)



station.dat

```

4          # ステーション数
10.0 10.0 0.0  # ステーション1: X, Y, Z(km)
                の設定
40.0 10.0 0.0
10.0 40.0 0.0
40.0 40.0 0.0
  
```

(注意) ./examples/seismic_3D-exampleにこれら4つのパラメータファイルが用意されています。

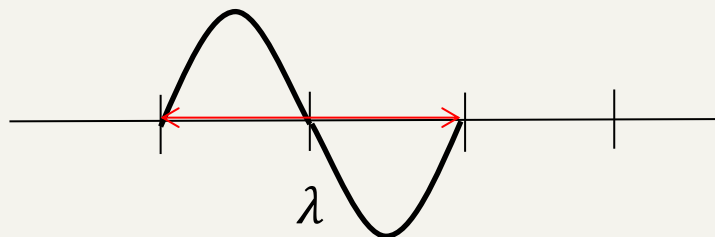
./src/seismic_3D/1.ppohFDM-ppohVIS or 2.parallelにCOPY

(1) 最大周波数の決め方

$$\frac{\lambda^{min}}{\Delta x} = 6$$

4次精度の場合6-8個
(経験的に)

$$\lambda^{min} = 6\Delta x = 6 \times 0.5 = \mathbf{3.0}$$



$$V_s^{min} = f^{max} \times \lambda^{min}$$

(伝わる速度) (周波数) (波長)

$$1.7 = f^{max} \times \mathbf{3.0}$$

$$f^{max} = \mathbf{0.6(Hz)}$$

(2) Δtの決め方

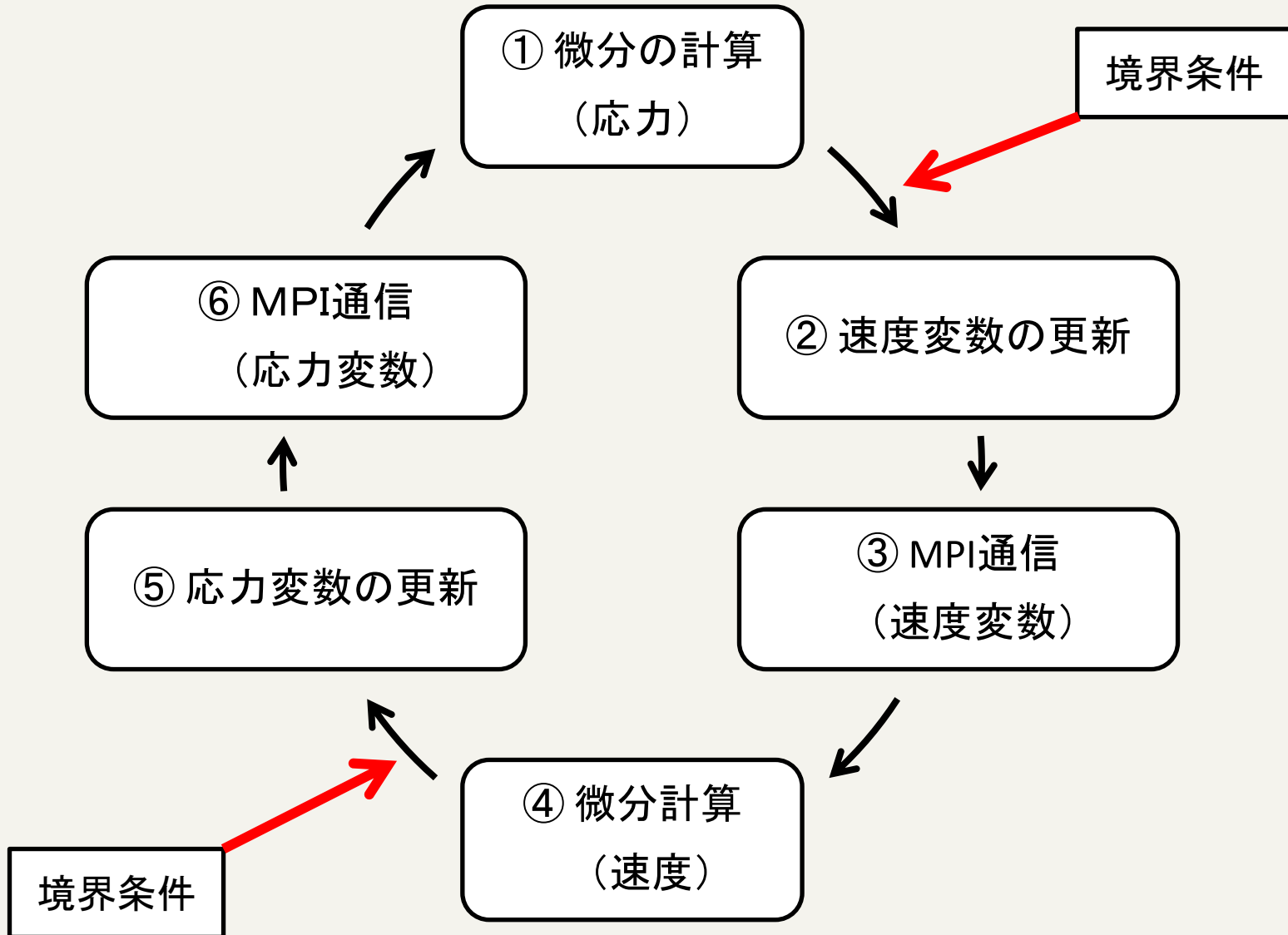
$$\Delta t < 0.2 \frac{\Delta x}{V^{max}}$$

$$\Delta t < 0.2 \frac{0.5}{4.0} = \mathbf{0.025}$$

青: 未知数

黒: 既知数

2. 計算手順



3. 出力および可視化



• 出力データ

– 各MPIランクで出力されている

```

SEISM3D3.prm          SEISM3D3.SUR.000.001.000  SEISM3D3.XY.001.001.000
SEISM3D3.SPS.000.000.000  SEISM3D3.SUR.000.001.001  SEISM3D3.XZ.000.000.000
SEISM3D3.SPS.000.000.001  SEISM3D3.SUR.001.000.000  SEISM3D3.XZ.000.000.001
SEISM3D3.SPS.000.001.000  SEISM3D3.SUR.001.000.001  SEISM3D3.XZ.001.000.000
SEISM3D3.SPS.000.001.001  SEISM3D3.SUR.001.001.000  SEISM3D3.XZ.001.000.001
SEISM3D3.SPS.001.000.000  SEISM3D3.SUR.001.001.001  SEISM3D3.YZ.000.000.000
SEISM3D3.SPS.001.000.001  SEISM3D3.WAV.000.000.000  SEISM3D3.YZ.000.000.001
SEISM3D3.SPS.001.001.000  SEISM3D3.WAV.000.000.001  SEISM3D3.YZ.000.001.000
SEISM3D3.SPS.001.001.001  SEISM3D3.XY.000.000.000    SEISM3D3.YZ.000.001.001
SEISM3D3.SUR.000.000.000  SEISM3D3.XY.000.001.000
SEISM3D3.SUR.000.000.001  SEISM3D3.XY.001.000.000
  
```

SEISM3D3.prm

SEISM3D3.WAV.***

SEISM3D3.SPS.***

SEISM3D3.SUR.***

SEISM3D3.XY(XZ, YZ).***

計算パラメータ

観測点における波形

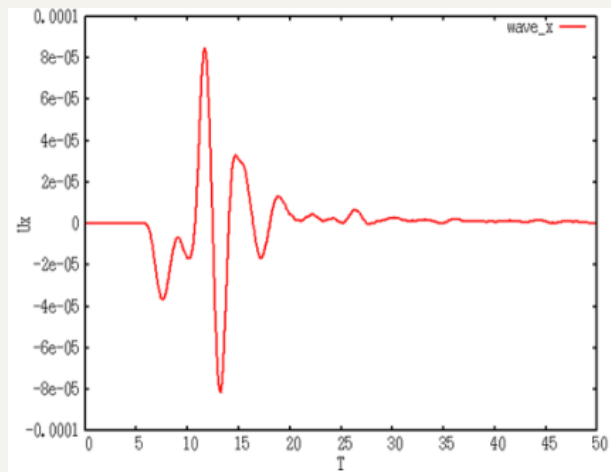
P波とS波の波動場

表面上での波動場

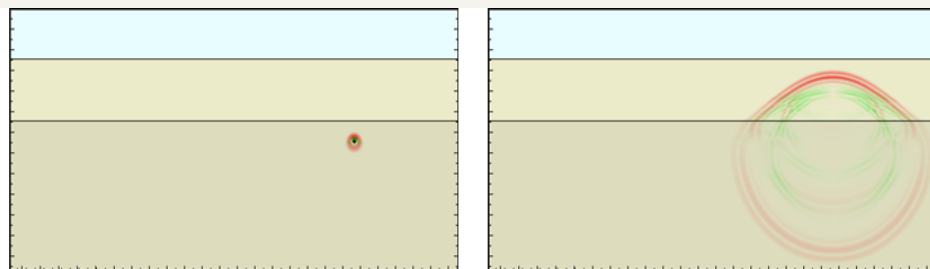
各断面での波動場

3. 出力および可視化 (cont.)

- ./tools/seismic_3D-toolsにおいてmakeすると4つ実行ファイル(catsnap, catwav, ppmxy3d3, rwav3d)が生成される
- % catsnap SEISM3D3.prm → 分割されたファイルが結合される(波動場)
- % catwav SEISM3D3.prm → 分割されたファイルが結合される(波形)
- % ppmxy3d3 → 波動場のスナップショット (xvやimagemagickで可視化)
- % rwav3d → 観測点の波形 (gnuplotで可視化)

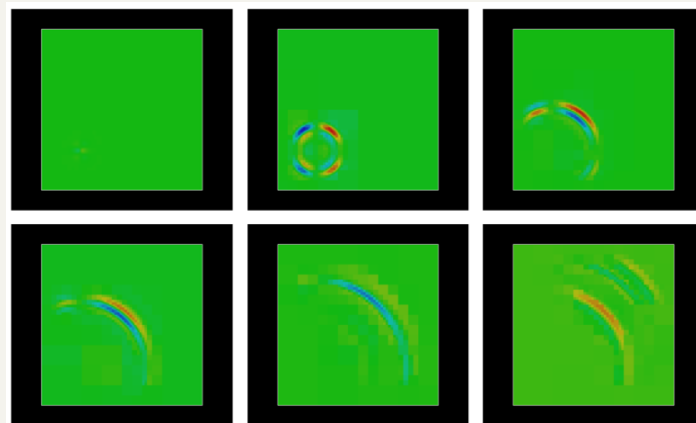
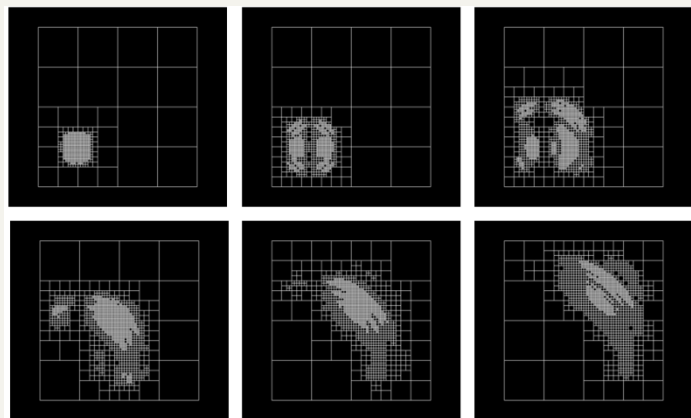


観測点の波形



波動場のスナップショット
(P波: 赤、S波: 緑)

- プロジェクト内で公開している大規模データのための可視化ライブラリppOpen-MATH/VIS
- ppOpen-APPL/FDM に実装済み
 - ./src/seismic_3D/1.ppohFDM-ppohVIS
 - 出力ファイルは ./src/seismic_3D/1.ppohFDM-ppohVIS
 - control.datのMaxVoxelCountやMaxRefineLevelの値を大きくすると細かくなる (./examples/seismic_3D-example)
 - AVSやParaviewで可視化することができる



VXの速度場

へテロな環境下における Performance Test*

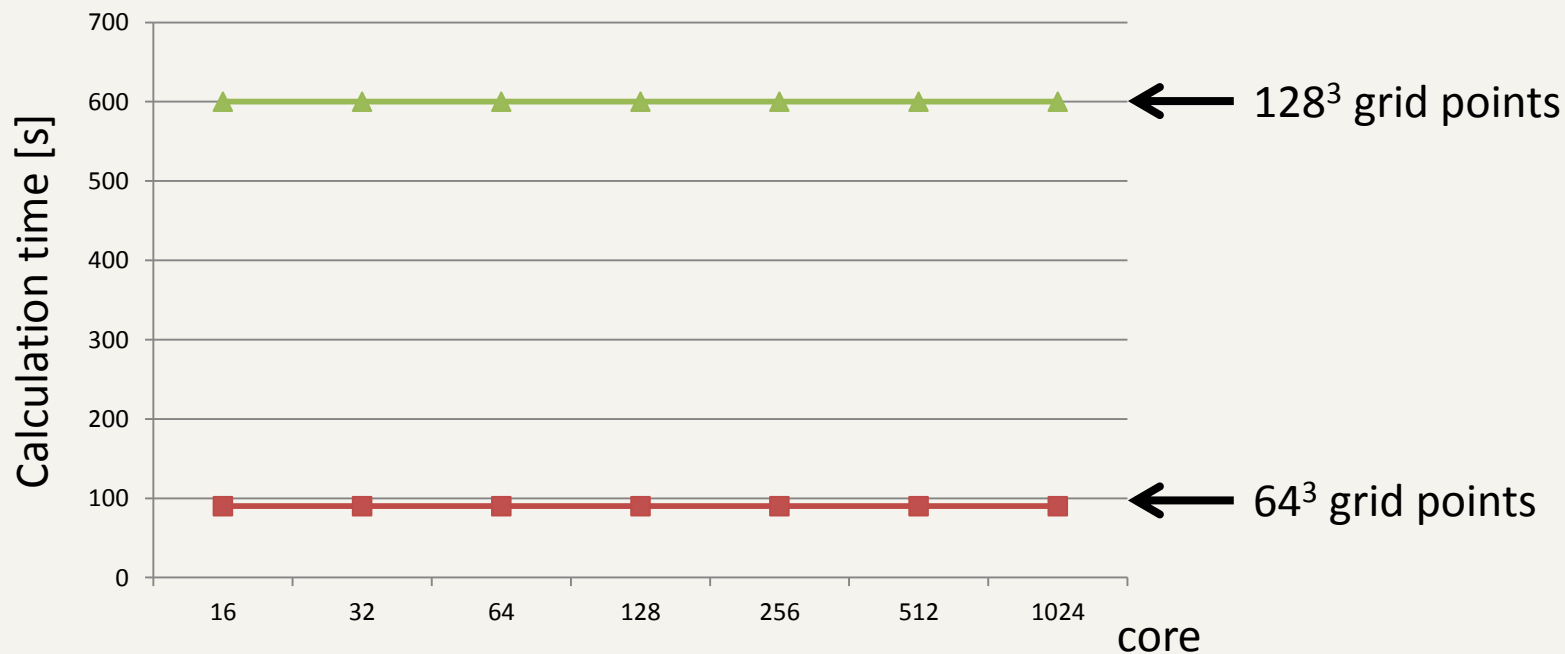
Mori F et al., Lecture Notes in Computer Science (LNCS 8969), pp.66-76, 2015.

Mori F et al., 11th International Meeting High Performance Computing for Computational Science (VECPAR2014)

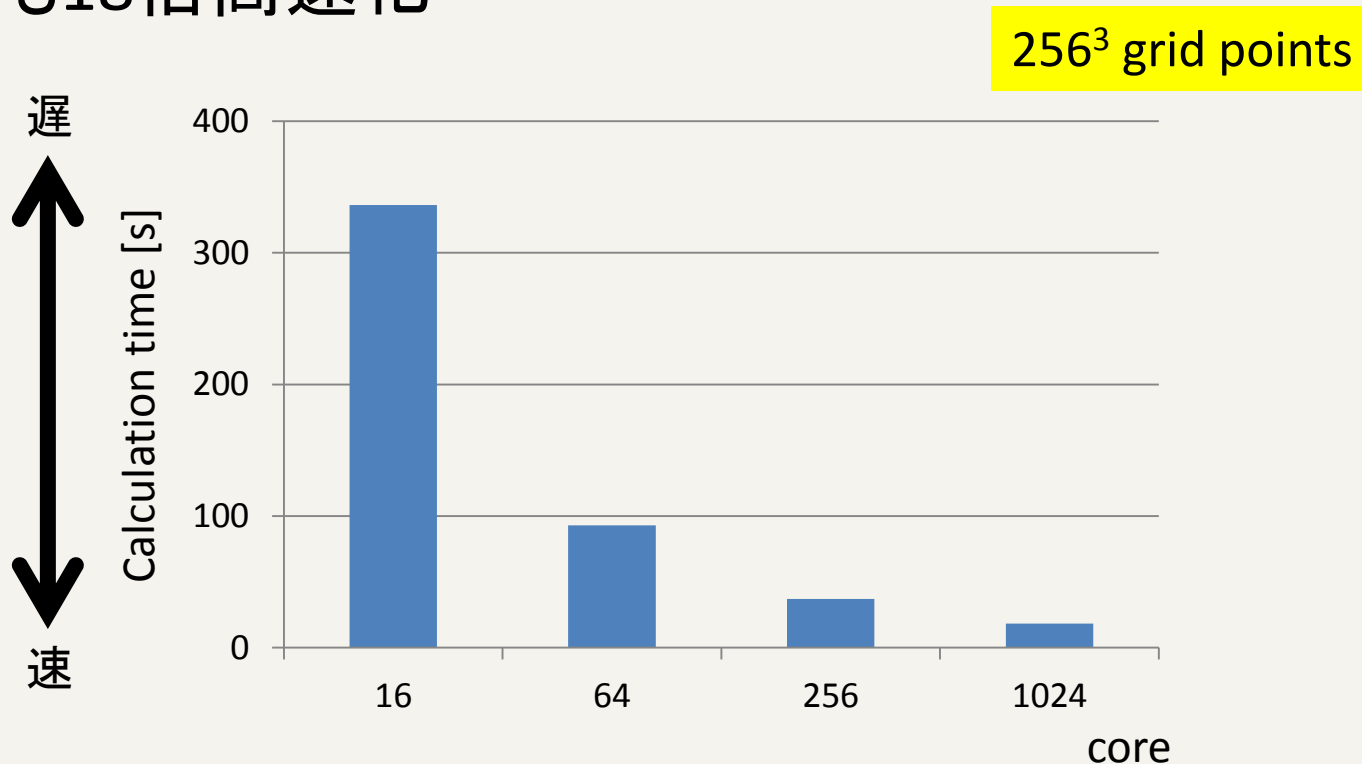
Weak scaling test in flat MPI



- モデルサイズ: 64^3 , 128^3 grid points
- 並列数: 16~1024 コア
- 3D domain partitioning of MPI



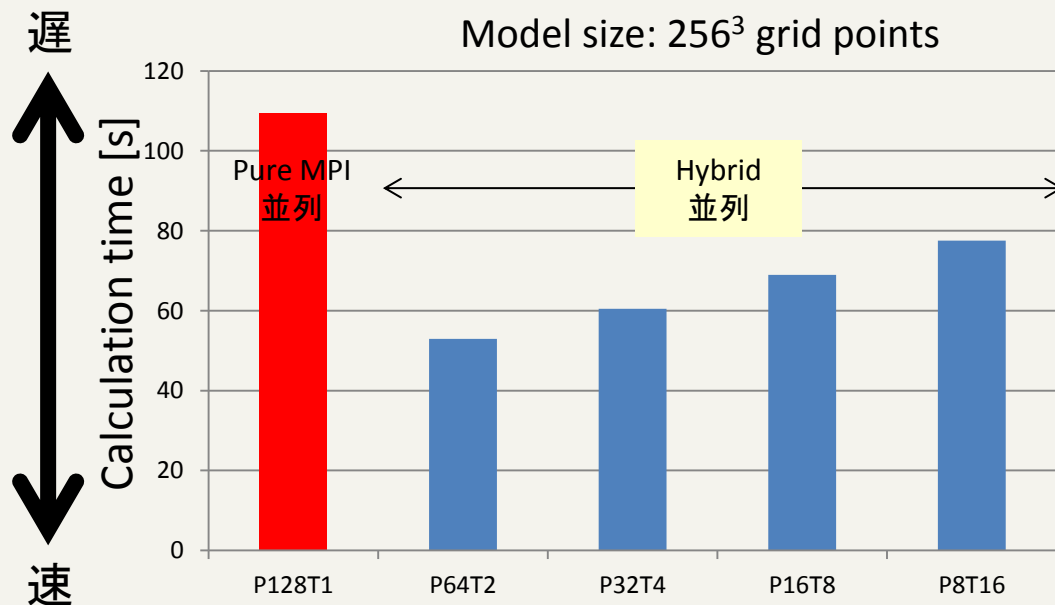
- 計算時間はコア数が増加することで低減している
 - 1024コアでの計算時間は、16コアの計算時間よりも18倍高速化



Storing scaling test in the MPI/OpenMP hybrid parallel computing on FX10



- パフォーマンステストは8ノード(128コア, 16コア/ノード)を使って評価
 - P128T1, P64T2, P32T4, P16T8, P8T16 (Pはプロセス、Tはスレッド)
- モデルサイズ
 - 256³ grid points
- 最小の計算時間は、P64T2 による並列のときであった
 - Pure MPI並列よりも **P64T2** の方が2倍高速化していた



RANK	SITE	SYSTEM	CORES	RMAX (TFLOP/S)	RPEAK (TFLOP/S)	POWER (KW)
1	National Super Computer Center in Guangzhou China	Tianhe-2 (MilkyWay-2) - TH-IVB-FEP Cluster, Intel Xeon E5-2692 12C 2.200GHz, TH Express-2, <u>Intel Xeon Phi 31S1P</u> NUDT	3,120,000	33,862.7	54,902.4	17,808
2	DOE/SC/Oak Ridge National Laboratory United States	Titan - Cray XK7 , Opteron 6274 16C 2.200GHz, Cray Gemini interconnect, <u>NVIDIA K20x</u> Cray Inc.	560,640	17,590.0	27,112.5	8,209
3	DOE/NNSA/LLNL United States	Sequoia - BlueGene/Q, Power BQC 16C 1.60 GHz, Custom IBM	1,572,864	17,173.2	20,132.7	7,890
4	RIKEN Advanced Institute for Computational Science (AICS) Japan	K computer , SPARC64 VIIIIfx 2.0GHz, Tofu interconnect Fujitsu	705,024	10,510.0	11,280.4	12,660
5	DOE/SC/Argonne National Laboratory United States	Mira - BlueGene/Q, Power BQC 16C 1.60GHz, Custom IBM	786,432	8,586.6	10,066.3	3,945
6	Swiss National Supercomputing Centre (CSCS) Switzerland	Piz Daint - Cray XC30, Xeon E5-2670 8C 2.600GHz, Aries interconnect , <u>NVIDIA K20x</u> Cray Inc.	115,984	6,271.0	7,788.9	2,325
7	King Abdullah University of Science and Technology Saudi Arabia	Shaheen II - <u>Cray XC40</u> , Xeon E5-2698v3 16C 2.3GHz, Aries interconnect Cray Inc.	196,608	5,537.0	7,235.2	2,834
8	Texas Advanced Computing Center/Univ. of Texas United States	Stampede - PowerEdge C8220, Xeon E5-2680 8C 2.700GHz, Infiniband FDR, <u>Intel Xeon Phi SE10P</u> Dell	462,462	5,168.1	8,520.1	4,510
9	Forschungszentrum Juelich (FZJ) Germany	JUQUEEN - BlueGene/Q, Power BQC 16C 1.600GHz, Custom Interconnect IBM	458,752	5,008.9	5,872.0	2,301
10	DOE/NNSA/LLNL United States	Vulcan - BlueGene/Q, Power BQC 16C 1.600GHz, Custom Interconnect IBM	393,216	4,293.3	5,033.2	1,972

Top500.org/lists/2015/06/

From Top 500 (2015.06)

Many CoreマシンとMany Coreマシン+Accelerator / Co-processor を搭載しているマシンの変動

- Top 500はTop7以外は変わらない
- 75システム (2014.11) から90システム(2015.06)に増加
 - 内4システムが両方を搭載

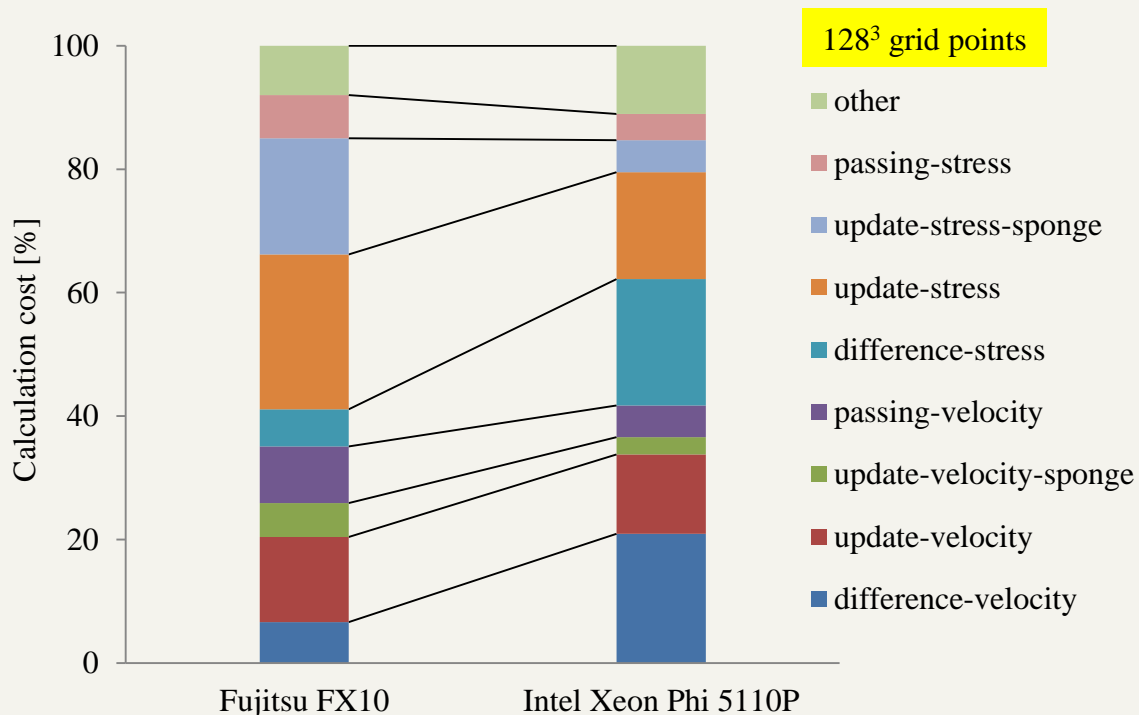
ちなみに、

Post T2K@東大・筑波大は Intel Phi Xeon Co-processorを搭載



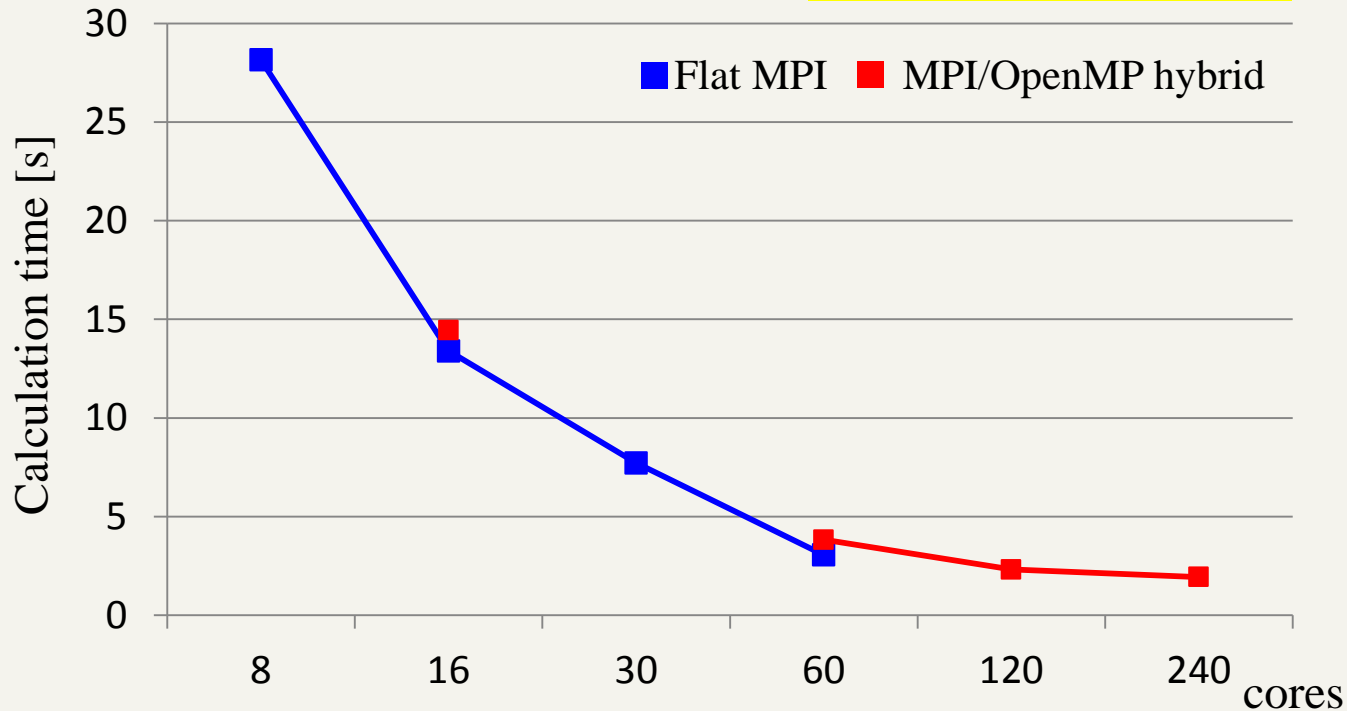
	Intel Xeon Phi 5110P @地震研	Fujitsu FX10 @東大情報セ	Xeon CPU (E5-4627 v2) @地震研
CPU clocks	1.053 GHz	1.848 GHz	3.3 GHz
Number of Cores	60	16	8
Thread/core	4	1	1
Size of L2 cache	512KB	12MB	2 MB
Peak Performance	1.01 TFLOPS	236.5 GFLOPS	211.2 GFLOPS
Peak Memory Bandwidth	320 GB/sec	85 GB/sec	59.7 GB/sec

- 公開中の弾性波動伝播コードにおいて、Fujitsu FX10やXeon Phiを用いた際、計算コストが高いカーネル
 - 応力更新
 - 速度更新



FDM calculation using 16 MPI parallel processes in 128³ grid points

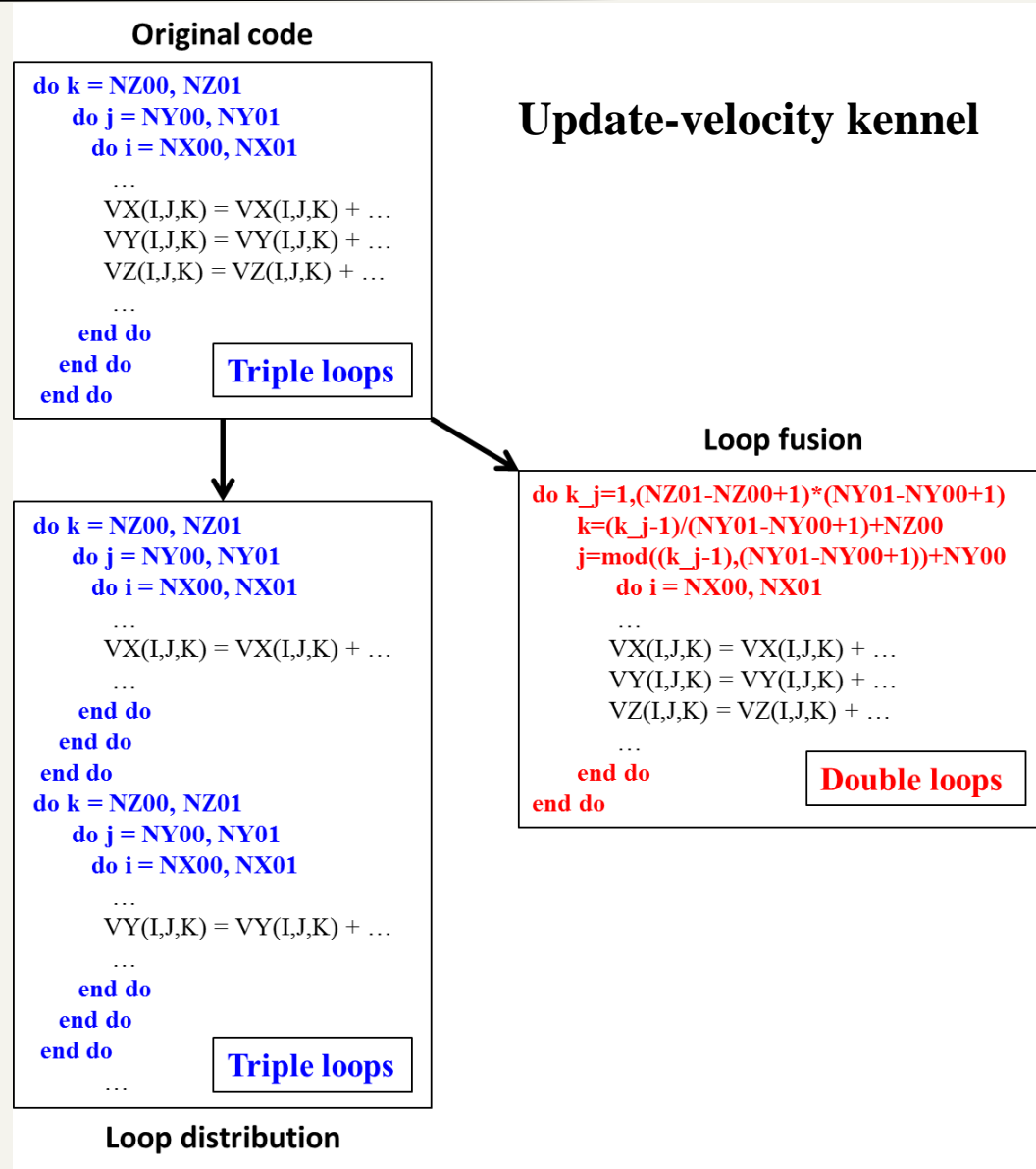
Update-velocity kernel
240³ grid points



Xeon Phi のNative modeで実行

- 60コア(物理コア)までは、Flat MPI並列の方がMPI/OpenMP ハイブリッド並列より高速
- 240コア(Hyper-Threading function)を使うことによって、MPI/OpenMPハイブリッド並列は、Flat MPI並列(60コア)より更に1.57倍速度向上できた
- Update-stress kernelも同様である

- ループの最適化
 - ループ融合
(Loop fusion)
 - ループ分割
(Loop distribution)

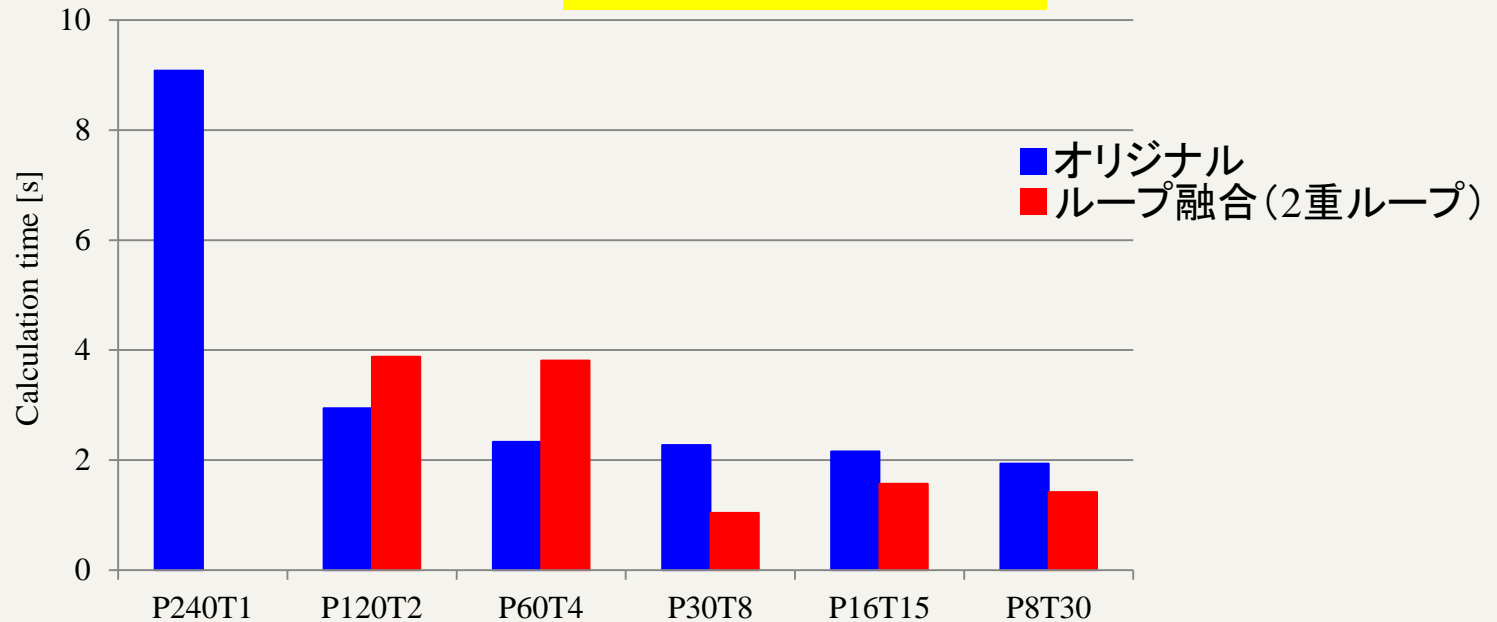


Performance of kernel loop optimization (Loop fusion) in **Triple loops** and **Double loops**



Update-velocity kernel
240³ grid points

P: MPI process
T: OpenMP thread



ループ融合によるパフォーマンス (240コアを使用した場合)

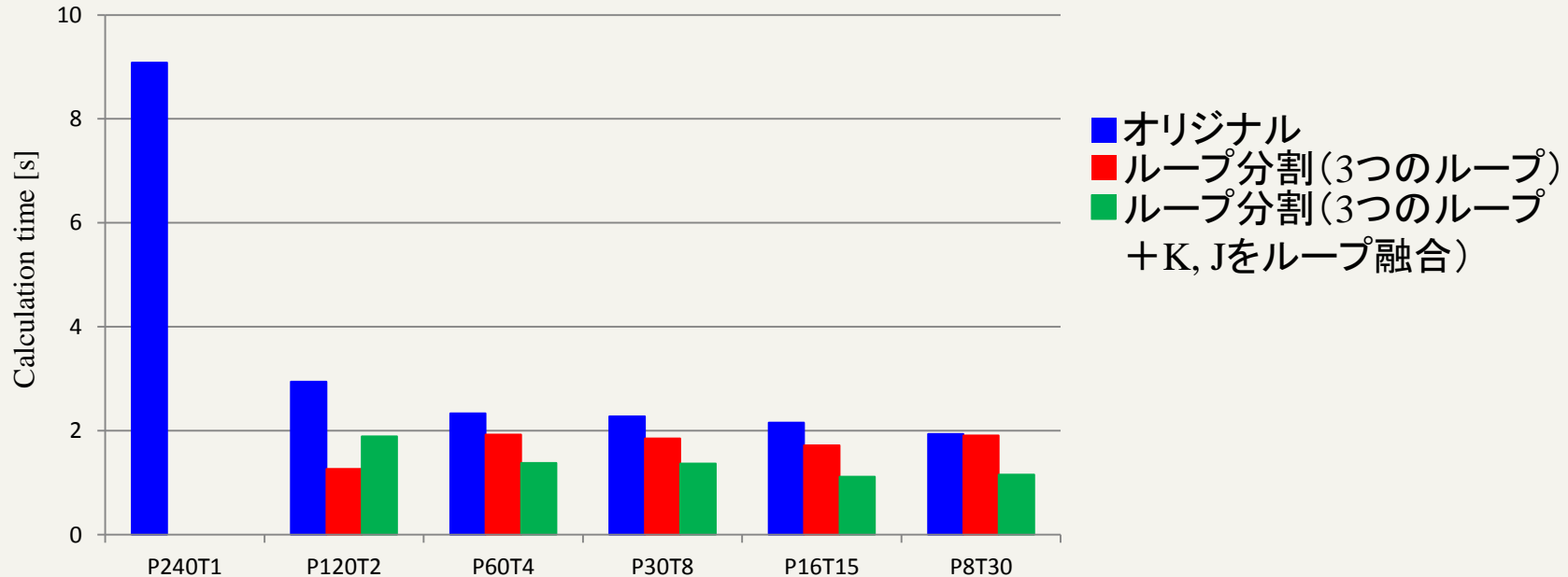
- スレッド並列数が8スレッド以上の場合、**3重ループ**より**2重ループ**の方が2.2倍高速化 (P30T8)
- 1重ループへループ融合したが、3重ループより1重ループの方が8.0倍低速化 (P8T30)
- Update-stress kernelにおいても傾向は同じ

Performance of kernel loop optimization (**Loop distribution**) in **Triple loops** and **Double loops**



Update-velocity kernel
240³ grid points

P: MPI process
T: OpenMP thread



ループ分割によるパフォーマンス (240コアを使用した場合)

- スレッド並列数が4スレッド以上の場合、**オリジナル(ループ分割なし)**より **ループ分割(3つのループ)**、**ループ分割(3つのループ+K, Jをループ融合)**の方が高速化
 - 1.9倍高速化 (P16T15)
- Update-stress kernelも同様である

- 並列計算においてデータ転送能力 (Byte/s) と演算性能 (Flops/s) の関係が重要である
- CPUの性能向上によって近年のスパコンにおけるB/F値は徐々に減少傾向にある
ES(B/F値4.0) → ES2 (B/F値2.5) → 京(B/F値0.5)
- 高B/F値のコードは、次世代のスパコンで高い性能を得ることが難しい
→ B/F値の低減が必要になる

Procedure of decreasing B/F ratio



Originalコード

```
do K=1,NZ
  do J=1,NY
    do I=1,NX
      ...
      DxSxx(I,J,K)=Sxx(I,J,K)-Sxx(I-1,J,K)
                    -Sxx(I+1,J,K)-Sxx(I-2,J,K)
    end do
  end do
end do
```

**Calculate Derivatives
kernel**

```
do K=Nz00,Nz01
  do J=Ny00,Ny01
    do I=Nx00,Nx01
      ...
      Vx(I,J,K)=Vx(I,J,K)+(DxSxx(I,J,K)+...
      Vy(I,J,K)=Vy(I,J,K)+(DxSxy(I,J,K)+...
      Vz(I,J,K)=Vz(I,J,K)+(DxSxz(I,J,K)+...
    end do
  end do
end do
```

**Update-velocity
kernel**

(update-velocity)要求B/F=2.7, (update-stress)要求B/F=1.7

Modifiedコード (Calculate Derivatives kernel + Update-velocity kernel)

```
do K=NZ00, NZ01
  do J=NY00, NY01
    do I=NX00, NX01
      ! Calculate Derivatives kernel
      DxSxx0=(Sxx(I+1,J,K)-Sxx(I-1,J,K))*C40/dx-(Sxx(I+2,J,K)-Sxx(I-1,J,K))*C41/dx
      DxSxy0=(Syy(I,J,K)-Sxy(I-1,J,K))*C40/dx-(Sxy(I+1,J,K)-Sxy(I-2,J,K))*C41/dx
      DxSxz0=(Sxz(I,J,K)-Sxz(I-1,J,K))*C40/dx-(Sxz(I+1,J,K)-Sxz(I-2,J,K))*C41/dx
      ...
      ! Update-velocity kernel
      Vx(I,J,K)=Vx(I,J,K)+(DxSxx0+DySxy0+DzSxz0)*ROX*DT
      Vy(I,J,K)=Vy(I,J,K)+(DxSxy0+DySyy0+DzSyz0)*ROY*DT
      Vz(I,J,K)=Vz(I,J,K)+(DxSxz0+DySyz0+DzSzz0)*ROZ*DT
    end do
  end do
end do
```

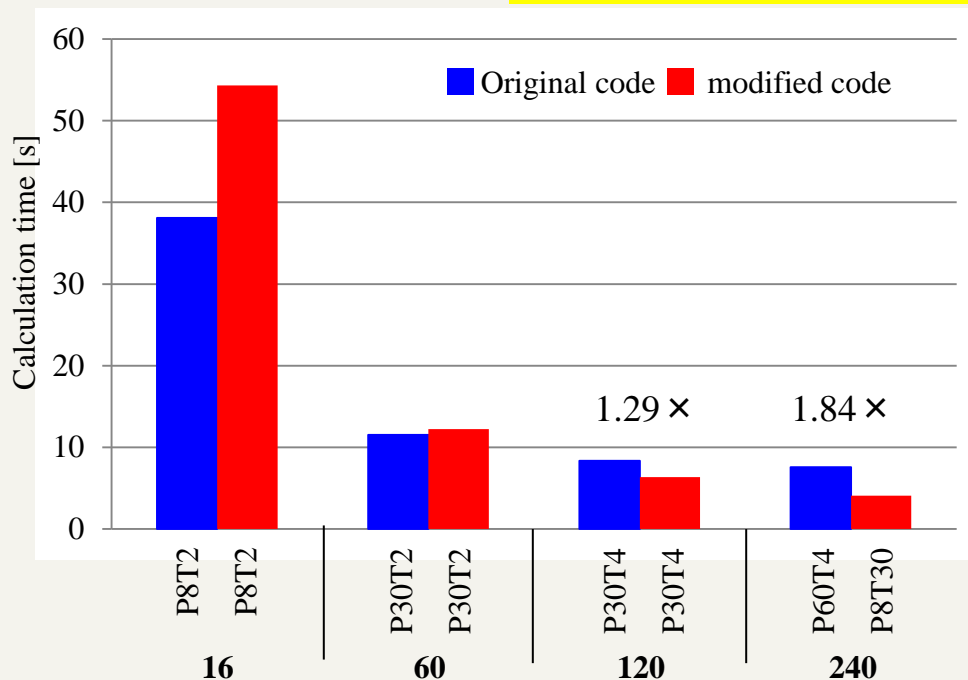
(update-velocity)要求B/F=0.4, (update-stress)要求B/F=0.4

MPI/OpenMP hybrid parallel computing

Xeon Phi 5110P @ERI

Update-velocity kernel
240³ grid points

P: MPI process numbers
T: OpenMP thread numbers

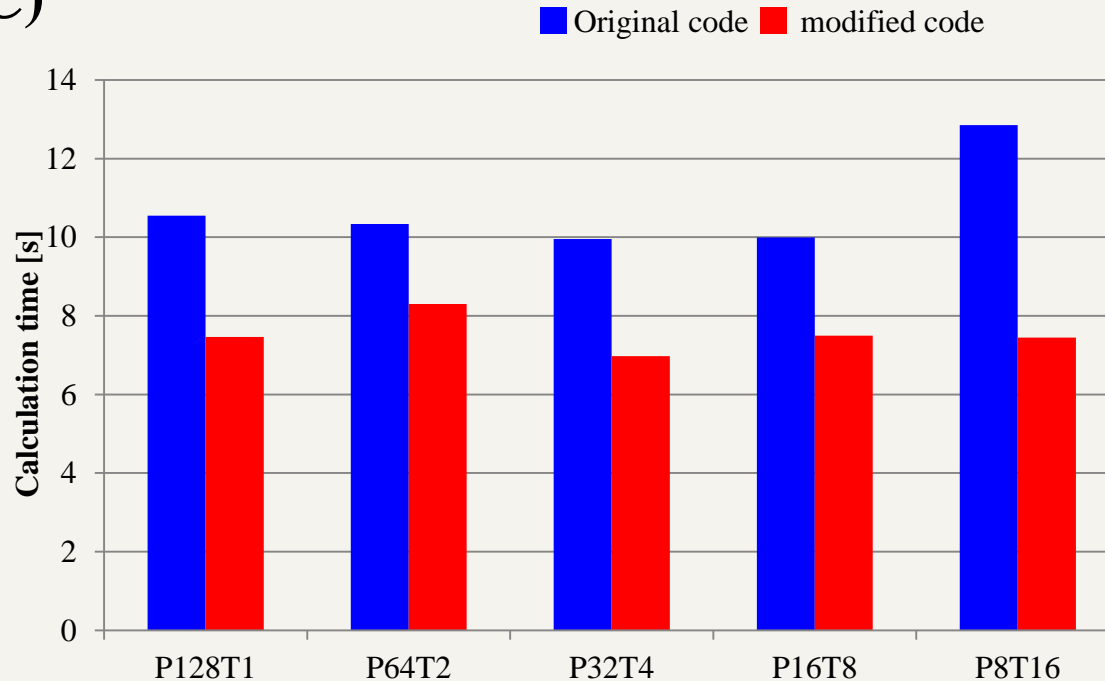


- MPI/OpenMP Hybrid 並列において、**Modified code**が**Original code**より高速になるのはHyper Threadingを使用したときであった
 - 1.9倍高速化 (P8T30)
- Update-stress kernelにおいても同傾向

CPU: Sparc 64 Ixfox (FX10@ITC)

Update-velocity kernel
512³ grid points

P: MPI process
T: OpenMP thread



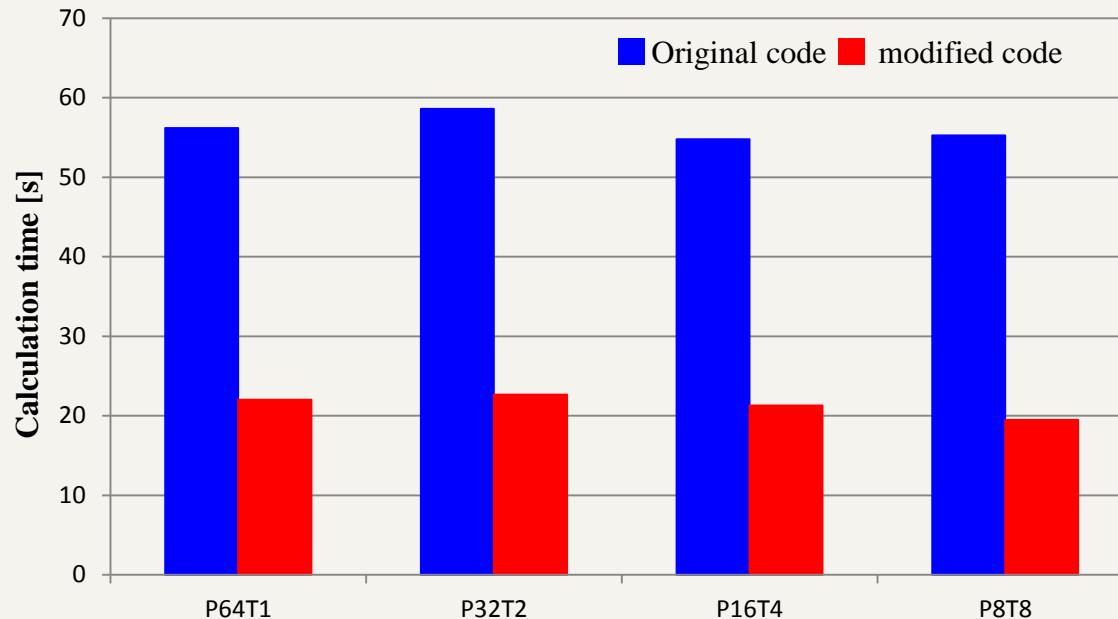
FX10におけるOriginal code と Modified codeの比較

- **Original code**の最速であるP32T4において**Modified code**は更に1.4倍高速化される
- Update-stress kernelにおいても同傾向

CPU: Intel Xeon E5-4627 v2 EIC@ERI

Update-velocity kernel
256³ grid points

P: MPI process
T: OpenMP thread



Intel Xeon CPU Clusterにおける**Original code**と**Modified code**の比較

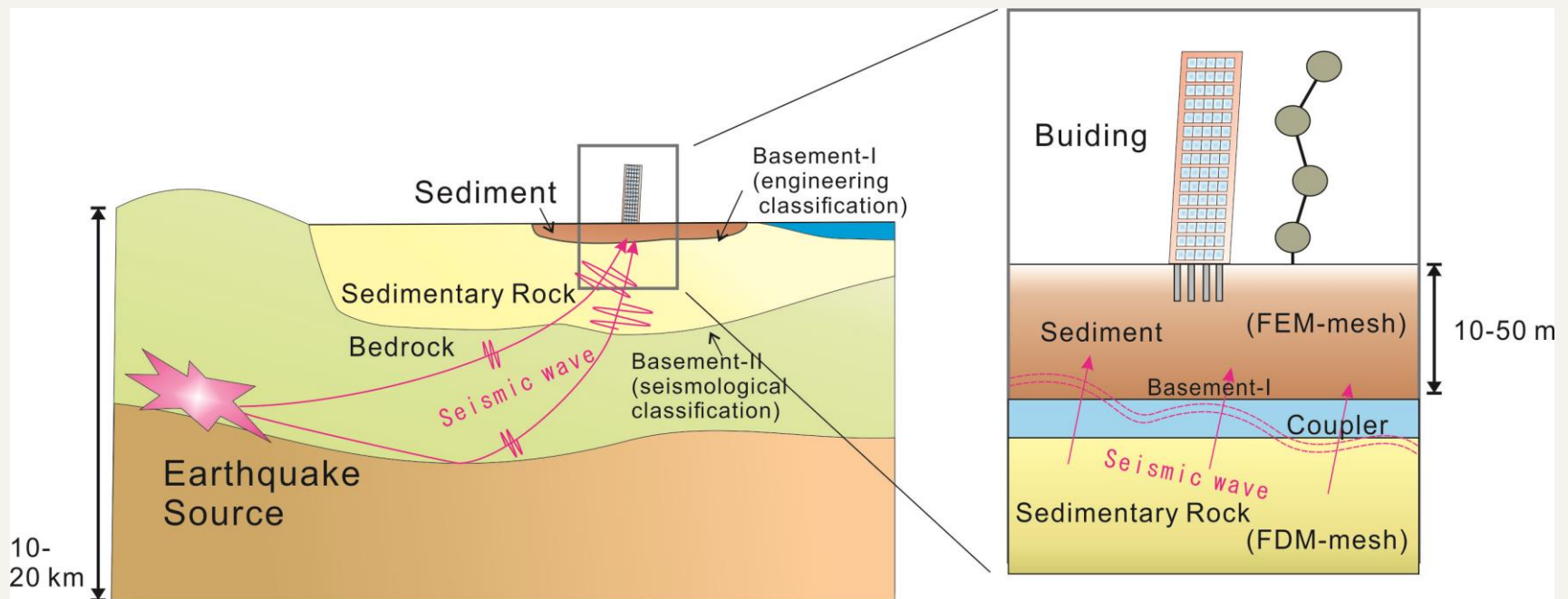
- **Original code**の最速であるP16T4において**Modified code(P8T8)**は2.8倍高速化される
- Update-stress kernelにおいても同傾向

- Pure MPI並列 vs Hybrid並列
 - Hybrid並列の方が有効的である
- Intel Xeon Phi Coprocessorの最適化
 - チューニングとしてループ分割が全体のパフォーマンスを考えたとき有効的である
 - スレッド数の増加に対して、ループ分割＋ループ融合が安定的に効果が見込める
- B/F値の低減
 - ヘテロな環境においてメモリ律速から緩和させることによってCPU性能が顕在化してきた可能性がある
 - モデルサイズの違いがあることが推測される

ppOpen-APPL/FDMの実例 大規模連成計算**

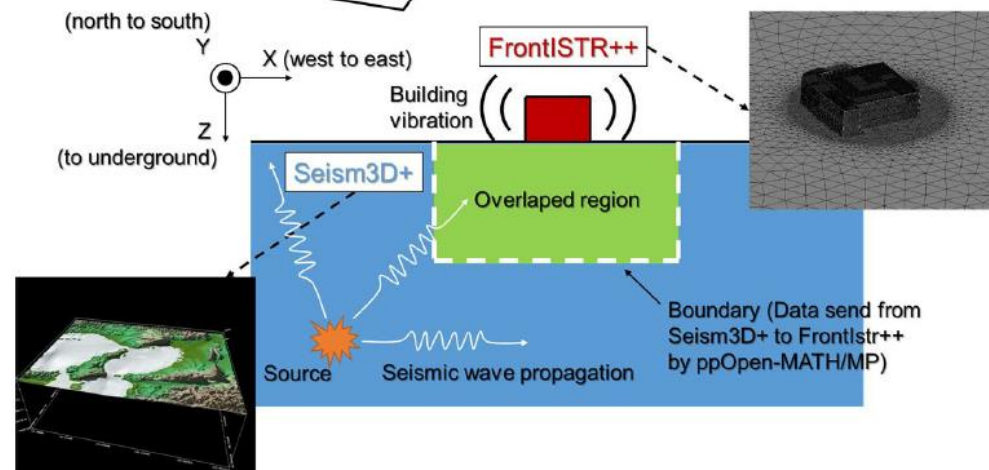
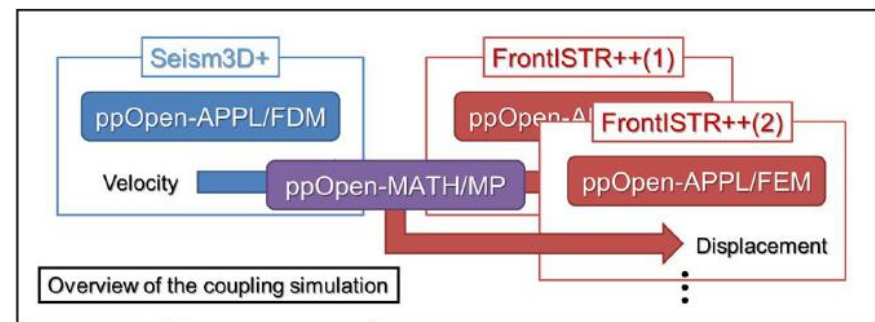
大規模連成計算の取り組み

- ppOpen-HPCプロジェクト内で開発されているppOpen-MATH/MP couplerを用いて差分法(地震動→ ppOpen-APPL/FDM)と有限要素法(構造解析→ ppOpen-APPL/FEM)を連成し、大規模連成計算をおこなっている

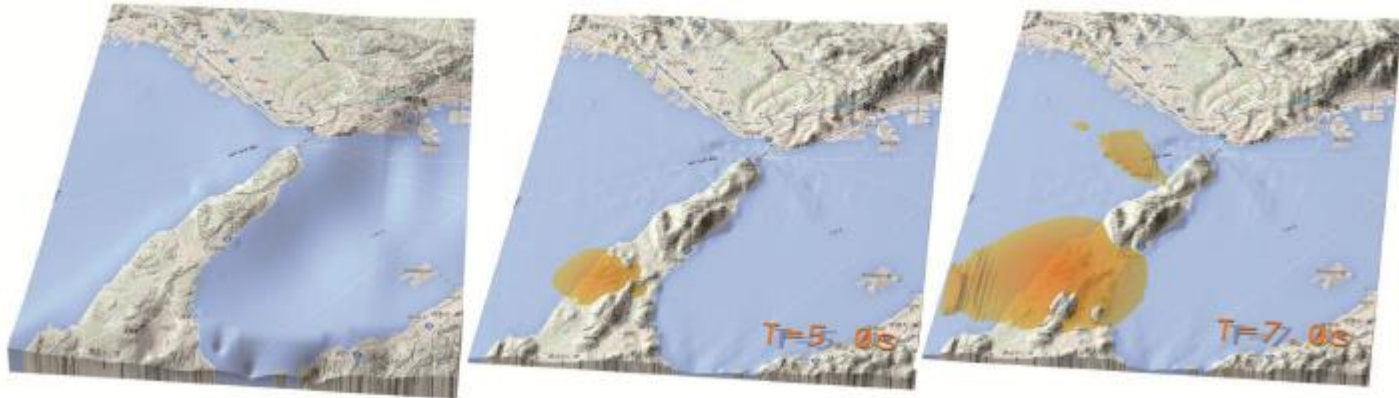


FDM: Seismic Wave Propagation → ppOpen-MATH/MP → FEM: Building Response

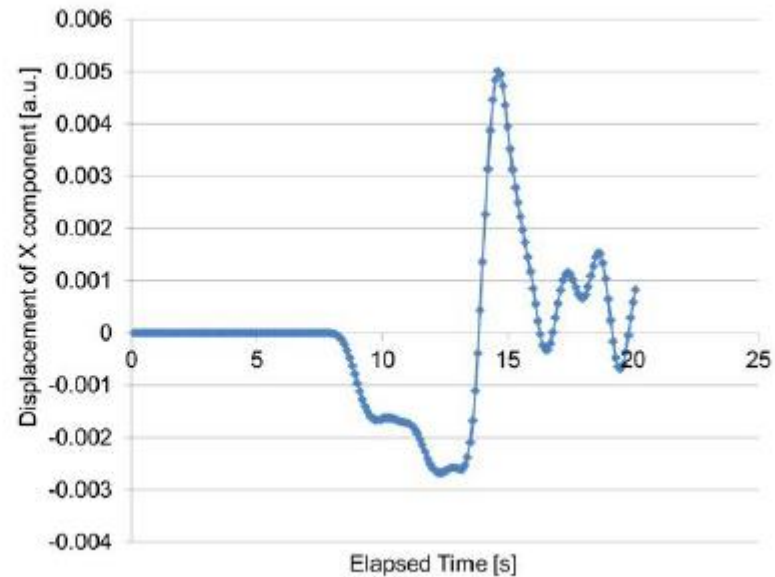
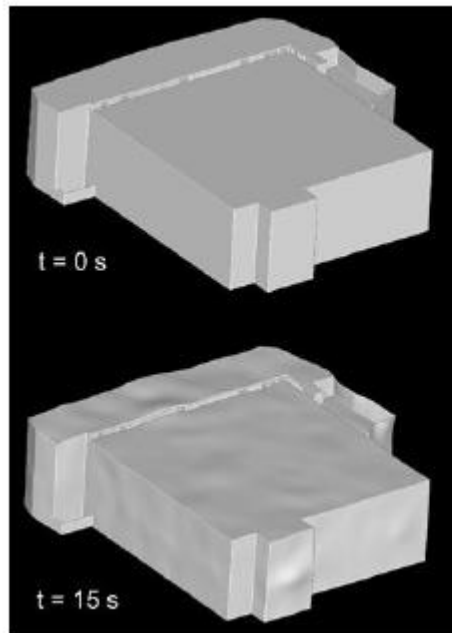
- 淡路**を震源とした地震を想定し、ポートアイランドにある**計算科学研究機構 京コンピュータの建屋**への影響をシミュレーションをおこなった



地震動



構造解析



ppOpen-APPL/FDM 利用方法と演習

/home/c31003/share/lecture.tar.gzがありますのでコピーし解凍してください

* 以下のファイルがインストールされていることを必須としています

Putty (in windows)

WinSCP (in windows)

FUJITSU Software Development

Paraview

ディレクトリとファイルを確認

./lecture以下を確認 (以下このディレクトリをルートディレクトリとして説明)

演習で使うコードは、./lecture/src 以下にあります

```
[c31003@oakleaf-fx-3 lecture]$ ls
doc                LICENSE_ppohAPPL-FDM  ppohMATH-VIS-install  tools
etc                LICENSE_ppohMATH-VIS  ppohMATH-VIS-lib
examples          Makefile              README_ppoh-APPL-FDM
INSTALL_ppohAPPL-FDM  Makefile.in          src
[c31003@oakleaf-fx-3 lecture]$ cd src/
[c31003@oakleaf-fx-3 src]$ ls
seismic_2D  seismic_3D
[c31003@oakleaf-fx-3 src]$ cd seismic_3D/
[c31003@oakleaf-fx-3 seismic_3D]$ ls
1. ppohFDM-ppohVIS  2. parallel  3. parallel-opt
```

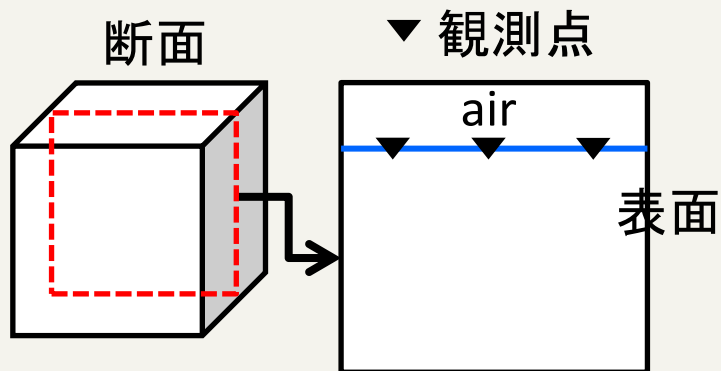
ppohVISライブラリが実装

並列コード

3つの入力パラメータファイル

./examples/seismic_3D-example
にあるのでコピー

1. 観測点 (X, Y, Z (km)) の設定

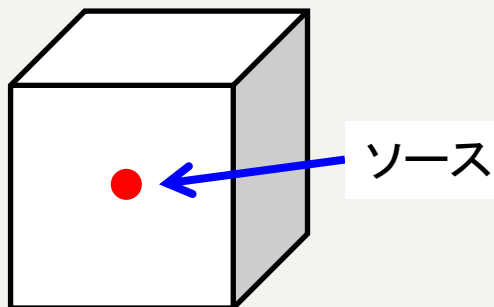


station.dat

```

4 # ステーション数
10.0 10.0 0.0 # ステーション1: X, Y, Z(km)を設定
40.0 10.0 0.0
10.0 40.0 0.0
40.0 40.0 0.0
  
```

2. ソースパラメータを設定



source.dat

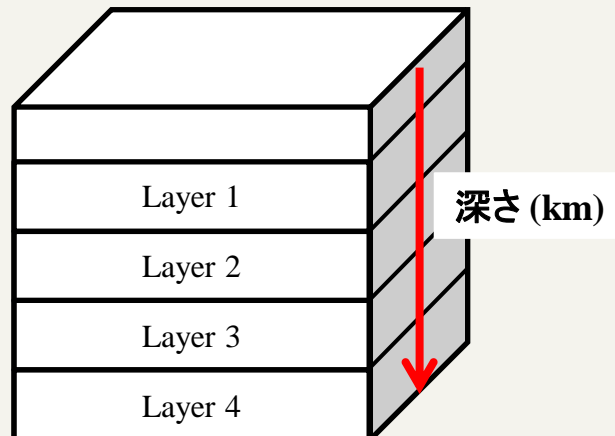
```

16.0 16.0 16.0 # ソースの位置: X(km), Y(km), Z(km)
0.0 45.0 90.0 # 断層パラメータ
1.0 2.0 # ソース時間: at, t0 (s)
  
```

3. 地下構造モデル(深さ(depth), 密度($R0$), P波の速度(VP), S波の速度(VS))を設定
- medium.dat

medium.dat

```
4          # 地下構造の層の数
20 2.3 3.0 1.7  # 深さ(km), 密度 (t/m3),
                # P波速度(km/s), S波速度 (km/s)
30 2.3 3.3 2.3
40 2.7 5.0 3.3
50 2.7 6.0 4.0
```



./examples/seismic_3D-example
にあるのでコピー

計算パラメータ (m_param.f90)

(計算モデルとタイムステップ)

- モデルサイズ: NX, NY, NZ
- 格子間隔: DX, DY, DZ
- タイムステップ: NTMAX
- 時間間隔: DT

(MPI: 3次元分割)

- 分割: IP, JP, KP
- プロセス数: NP

`./examples/seismic_3D-example`
にあるのでコピー

```
!-- << Model Size and Grid Width >>
```

```
integer, parameter :: NX = 128
```

```
integer, parameter :: NY = 128
```

```
integer, parameter :: NZ = 128
```

```
integer, parameter :: KFS = 25
```

```
integer, parameter :: NX1 = NX+1
```

```
integer, parameter :: NY1 = NY+1
```

```
integer, parameter :: NZ1 = NZ+1
```

```
integer, parameter :: NTMAX = 2000
```

```
integer, parameter :: NWRITE = 10
```

```
real(PN), parameter :: DX = 0.5_PN
```

```
real(PN), parameter :: DY = 0.5_PN
```

```
real(PN), parameter :: DZ = 0.5_PN
```

```
real(PN), parameter :: DT = 0.025_PN
```

```
integer, parameter :: NDUMP = 5
```

モデルサイズ

タイムステップ

格子間隔

時間間隔

```
!--<< Parallel >>
```

```
integer, parameter :: IP = 2
```

```
integer, parameter :: JP = 2
```

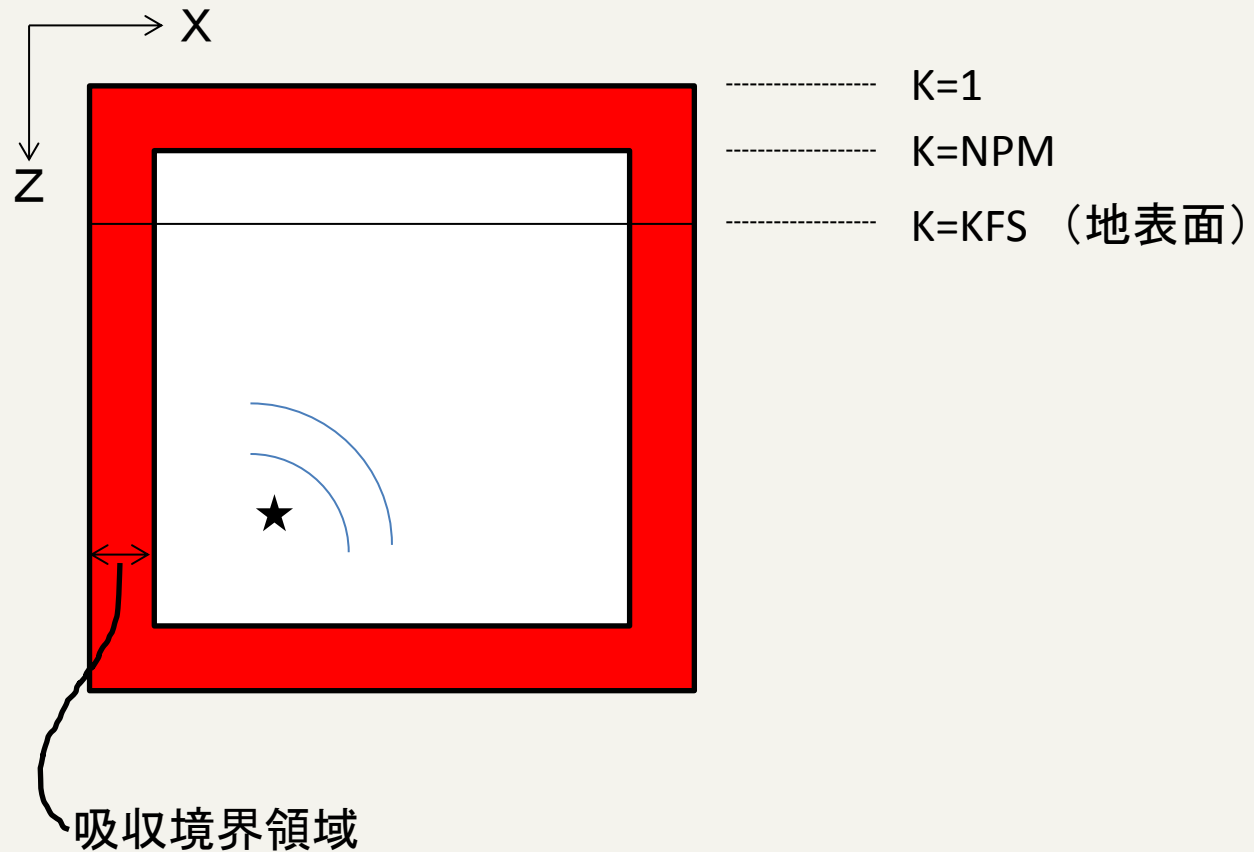
```
integer, parameter :: KP = 2
```

```
integer, parameter :: NP = IP*JP*KP ! Number of process
```

```
integer, parameter :: NL = 4 ! Order of the fd scheme
```

MPI領域分割

計算パラメータの注意点



本コードでは、吸収境界条件を設定しています。吸収境界は`m_param.f90`内のNPM変数において、20 gridsに設定しています。また、地表面のリファレンスとしてKFS変数を定義しています。サンプルでは、KFSは5gridsとしています。

1. 媒質の物理値を変化させ、波動場の観測せよ。パラメータは以下の通り

- 計算パラメータの設定 (m_param.f90)
 - モデルサイズ(NX*NY*NZ): 128*128*128
- 媒質の設定 (medium.dat)

```
4
20 2.3 3.0 1.7
30 2.3 3.3 2.3
40 2.7 5.0 3.3
50 2.7 6.0 4.0
```

デフォルト



```
5
10 2.3 2.8 1.2
20 2.3 3.0 1.7
30 2.3 3.3 2.3
40 2.7 5.0 3.3
50 2.7 6.0 4.0
```

- ソースの設定 (source.dat)

```
16.0 16.0 16.0
0.0 45.0 90.0
1.0 2.0
```

デフォルト



```
16.0 16.0 10.0
0.0 45.0 90.0
1.0 2.0
```

演習(1)(cont.)

– 観測点の設定 (station.dat)

```
4
10.0 10.0 0.0
40.0 10.0 0.0
10.0 40.0 0.0
40.0 40.0 0.0
```

– control.dat

```
[Refine]
AvailableMemory = 2.0
MaxVoxelCount = 10000
MaxRefineLevel = 20
[Simple]
ReductionRate = 0.0
```

- ラベルを設定する (seism3d3n.f90のL107)
- 出力間隔を設定する (seism3d3n.f90のL358)
- 出力パラメータの設定 (seism3d3n.f90のL375)

- 上記のパラメータとデフォルトパラメータとの違いを確認せよ
 1. 媒質のパラメータを変更したときの違い
 2. ソースのパラメータを変更したときの違い
 3. control.datのMaxVoxelCountとMaxRefineLevelの値を変更したときの違い確認せよ

演習(1)(cont.)



• コンパイル

1. % ./make
2. % ./make install
3. % ./make seism3d-ppohVIS
4. % ./make install

(注意)

Makefile.inにMATH/VISライブラリのコンパイル先が書かれている。各ユーザはディレクトリを場所を絶対パスで書く

• 実行

- % cd ./src/seismic_3D/1.ppohFDM-ppohVIS
- %pjsub job

```
#!/bin/sh
```

**はユーザがパラメータに応じて変更

```
#PJM -L "rscgrp=**"
```

```
#PJM -L "node=**"
```

```
#PJM -L "elapsed=**:*:*:"
```

```
#PJM -g **
```

```
#PJM --mpi "proc=**"
```

m_param.f90で設定したNPとproc数を同じにする

./etc/jobがあるのでコピー

```
mpiexec ./seism3d3n
```

- ppOpen-MATH/VISで出力されたinpファイルをparaviewを使って可視化
 - ./src/seismic_3D/1.ppohFDM-ppohVIS/ppohVISにデータが出力されていることを確認
- ローカルにデータを移動させ、Paraviewを使って可視化する

1. 並列数とモデルサイズを変更して計算時間の変化を計測せよ
 - m_param.f90
 - モデルサイズ: 256*256*256 grid points
 - NP: 8, 16, 32, 64, ...
 - プロファイル情報を取得するために、計測した部分に call fapp_start, call fapp_stop で挟む
 - seism3d3n.f90 に書き込む

```
!! Velocity Update
```

```
call fapp_start("region2",1,1)
```

```
call ppohFDM_update_vel ( 1, NXP, 1, NYP, 1, NZP )
```

```
call fapp_stop("region2",1,1)
```

- Job ファイル

```
#!/bin/sh

#PJM -L "rscgrp=**"
#PJM -L "node=**"
#PJM -L "elapsed=**:*:*:"
#PJM -g **
#PJM --mpi "proc=**"

fapp -C -d prof -L 1 -lhwm -Hevent=Statistics mpiexec lpgparm -p 256MB -d 256MB -h 256MB -s 256MB
-t 256MB ./seism3d3n
```

**はユーザがパラメータに応じて変更

./etc/jobがあるので適宜修正してください

- プロファイルを保存するディレクトリが必要
 - ./src/seismic_3D/2.parallel/prof

(注意)

計測にあたりseism3d3n.f90のL175, L316にあるI/Oに関連するサブルーチンをコメントアウトする

1. 並列数とモデルサイズを変更して計算時間の変化を計測せよ

- m_param.f90
 - モデルサイズ: 256*256*256 grid points
 - 使用するノード数: 8ノード(128コア) or 4ノード(64コア)に固定
 - IP, JP, KPの値を変化させる(プロセス数)
 - Job文のexport OMP_NUM_THREADSの値を変化させる
- Jobファイル

```
#!/bin/sh
```

```
#PJM -L "rscgrp=***"
```

```
#PJM -L "node=**"
```

```
#PJM -L "elapsed=**.*.*"
```

```
#PJM -g **
```

```
#PJM --mpi "proc=**"
```

```
export OMP_NUM_THREADS=**
```

```
fapp -C -d prof -L 1 -lhwm -Hevent=Statistics mpiexec lpgparm -p 256MB -d 256MB -h 256MB -s 256MB -t 256MB ./seism3d3n
```

**はユーザがパラメータに応じて変更

./etc/jobがあるので適宜修正してください

- ./doc以下にあるマニュアルを参照
 - user guide
 - reference guide
- 古村孝志, 地震波伝播と強震動の大規模並列FDMシミュレーション, 東京大学情報基盤センタースーパーコンピューティングニュース, Vol11, pp.35-63, 2009.
- Mori F et al., Lecture Notes in Computer Science (LNCS 8969), pp.66-76, 2015.
- Mori F et al., 11th International Meeting High Performance Computing for Computational Science (VECPAR2014)
- Matsumoto M et al., Multi-scale Coupling Simulation of Seismic Waves and Building Vibrations Using ppOpen-HPC, Procedia Computer Science 51: 1514-1523 (2015)